

**UDK 550.837.3**

## **Poskus transformacije geoelektrične karte**

### **An attempt of resistivity map convolution**

*Janez Lapajne*

Seismološki zavod SR Slovenije, 61000 Ljubljana, Kersnikova 3

#### **Kratka vsebina**

Po metodah za transformacijo kart potencialnih polj je avtor poskusil transformirati tudi karte navidezne specifične električne upornosti. Pri bližke drugega odvoda je kot dvodimenzionalne filtre uporabil za določevanje »ničelnih črt«, ki razmejujejo nižjeupornostna in višjeupornostna hribinska območja. Ta območja ustrezano različnim litološkim enotam, »ničelne črte« pa označujejo litološke meje in prelomne cone. Primer transformacije geoelektrične karte Čateških Toplic je pokazal, da so določene metode transformiranja kart potencialnih polj uporabne tudi za karte navidezne specifične električne upornosti.

#### **Abstract**

An attempt of resistivity data convolution has been made to produce grid residual and approximate second derivative maps. Twodimensional filters, common in filtering of potential field data, have been used as operators. For convolution a smoothed resistivity map has been prepared, and for interpretation only a rough result — zero lines marking out low resistivity and high resistivity sections has been taken into account. These sections correspond to different lithological units, the zero lines, however, to lithological boundaries and faulted zones. A resistivity map of the Čatež thermal springs area made previously is used to illustrate the practical application of the convolution method. The purpose of geoelectrical survey was to determinate lithological relations below shallow Quaternary gravel deposits and to find faulted zones, where thermal water could rise from a deepseated aquifer. The interpretation of these maps and other geophysical data enabled the location of two successful bore holes yielding abundant thermal water. Approximate second derivative resistivity maps prepared subsequently show that the locations of these bore holes lie in a zero line. Although resistivity data are not potential field data, the second derivative resistivity map seems to be quite useful.

#### **Uvod**

Neposredno vrednotenje geofizikalnih kart ne daje vedno zadovoljivih rezultatov, ali vsaj ne dovolj natančnih. Da bi se z interpretacijo čim bolj približali geološkim razmeram območja karte, so geofiziki uvedli razne metode trans-

formacij težnostnih in geomagnetičnih kart. Med uporabnimi matematičnimi pomočki so dvodimenzionalni filtri, ki so bolj ali manj grobi približki drugega odvoda. To metodo smo uporabili tudi za transformacijo geoelektrične karte območja Čateških Toplic (J. Lapajne, 1975), da bi razmejili višjeupornostna in nižjeupornostna hribinska območja ter določili pokrite litološke meje in prelomne cone.

### Metode transformacije

Metode za računanje transformiranih vrednosti polj, ki ustrezajo Laplaceovi diferencialni enačbi in predstavljajo približek drugemu odvodu, imajo obliko:

$$t_{ij} = \sum_{k=0}^n c_k \bar{f}_{ij}(r_k) \quad (1)$$

ali

$$t_{ij} = \frac{\sum_{k=0}^n a_k f_{ij}(r_k)}{\sum_{k=0}^n b_k \bar{f}_{ij}(r_k)} f_{ij}(0) \quad (2)$$

kjer pomeni

- |  |   |
|--|---|
| ( <i>i, j</i> )                                    | poljubni vozpelj kvadratne mreže; v vozlih te mreže so podane vrednosti polja;  |
| <i>t<sub>ij</sub></i>                              | transformirana vrednost v točki ( <i>i, j</i> );  |
| <i>r<sub>k</sub></i>                               | polmer <i>k</i> -tega kroga s središčem v točki ( <i>i, j</i> ); pri tem je <i>r<sub>0</sub></i> = 0;   |
| <i>f<sub>ij</sub>(r<sub>k</sub>)</i>               | poprečna vrednost polja na krogu s polmerom <i>r<sub>k</sub></i> ; pravzaprav je to aritmetična srednja vrednost polja v točkah kvadratne mreže, ki ležijo na krogu s polmerom <i>r<sub>k</sub></i> in središčem v točki ( <i>i, j</i> ); |
| <i>f<sub>ij</sub>(0)</i>                           | vrednost polja v točki ( <i>i, j</i> );   |
| <i>a<sub>k</sub>, b<sub>k</sub>, c<sub>k</sub></i> | utežni koeficienti.   |

Razne metode računanja se razlikujejo v nizih utežnih koeficientov, ki obeležujejo transformirano kartu. Da bi bila transformirana karta uporabna, morajo biti koeficienti primerno izbrani. Izbira je odvisna od velikosti in globine geološke strukture, ki nas zanima, in od napak v podatkih.

Pri računanju smo uporabili formule naslednjih avtorjev: B. N. P. Agarwal in T. Lal, 1971 (formula 22), B. N. P. Agarwal in T. Lal, 1972, T. A. Elkins, 1951 (formula 13), W. R. Griffin, 1949, R. G. Henderson in F. Zietz, 1949 (formula 15), O. Rosenbach, 1953 (formula 16).

B. N. P. Agarwal in T. Lal sta uporabila v članku iz leta 1971 obliko (2), vse druge obravnavane metode transformacije pa imajo obliko (1).

Za različne namene je ugodna posplošena metoda (B. N. P. Agarwal in T. Lal, 1972) ki s spremenjanjem enega samega parametra, tim. operatorja izglajevanja ali dušenja  $\lambda$ , v mejah od 0 do 0,3 daje vse potrebne nize koeficientov. (Utežni koeficient  $c_k$  je v tem primeru funkcija  $\lambda$ ).

Za  $\lambda = 0$  je transformiranka pravi drugi odvod (seveda glede na diskretne podatke), oziroma parcialni odvod v smeri  $z$ , to je v vertikalni smeri. Torej

$$t_{ij} = s^2 \left( \frac{\partial^2 f}{\partial z^2} \right)_{ij} \quad (3)$$

kjer je

$\left( \frac{\partial^2 f}{\partial z^2} \right)_{ij}$  parcialni odvod polja v točki  $(i, j)$ ;  
 $s$  mrežni razmik, to je razdalja med vozli kvadratne mreže, oziroma stranica osnovnega kvadrata mreže.

Izbira mrežnega razmika je odvisna od gostote merskih stališč. Gostota vozlov kvadratne mreže, ki služi za transformacijo, mora biti manjša, ali kvečjemu enaka gostoti merskih točk. Pri določitvi mrežnega razmika  $s$  pa je treba upoštevati tudi morebitno neenakomerno porazdelitev merskih stališč na terenu.

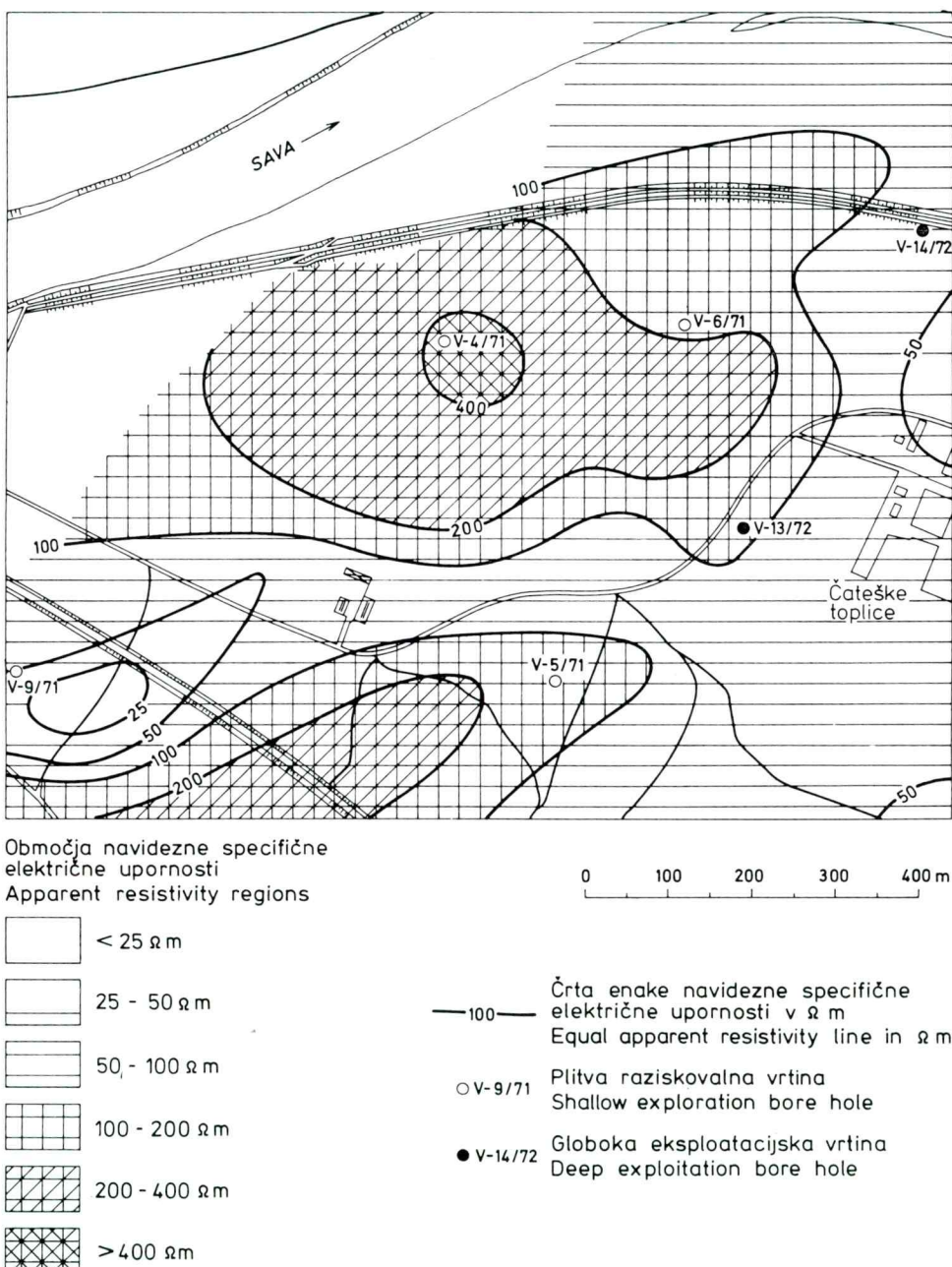
### Transformacija karte navidezne specifične upornosti Čateških Toplic

Uporabnost poznanih dvodimenzionalnih filtrov za transformacijo kart navidezne specifične upornosti smo preskusili na primeru karte območja Čateških Toplic (sl. 1). Računali smo na namiznem računalniku Hewlet Packard 9830A. Na transformiranih kartah (sl. 2 do 5) so s »+« označena hribinska območja višjih upornosti, z »—« pa območja nižjih upornosti. Pri tem sta upoštevana le dva razreda vrednosti, ker je kvečjemu takšna razčlemba fizikalno utemeljena. Črte, ki vežejo oznake »0« (»ničelne črte«), razmejujejo območja obeh upornostnih razredov. V splošnem imajo le te črte kolikor toliko korektno fizikalno osnovo (na prevojih je drugi odvod funkcije enak nič). V ta namen mora biti izhodiščna geoelektrična karta, ki jo transformiramo, primerno izglajena. Pri njeni izdelavi moramo odstraniti vpliv elektrod merske razvrstitev.

Od šestih metod, ki smo jih uporabili za transformacijo, smo prikazali rezultate štirih. Ostali dve metodi (R. G. H e n d e r s o n in I. Z i e t z , 1949 ter O. R o s e n b a c h , 1953) sta dali karti z bolj razdrobljenimi območji nižjih in višjih vrednosti upornosti, ki jih ni bilo mogoče zadovoljivo uskladiti z geološkimi izsledki. Isto velja tudi za transformacije po posplošeni metodi (B. N. P. A g a r w a l in T. L a l , 1972) z manjšimi vrednostmi operatorja  $\lambda$ .

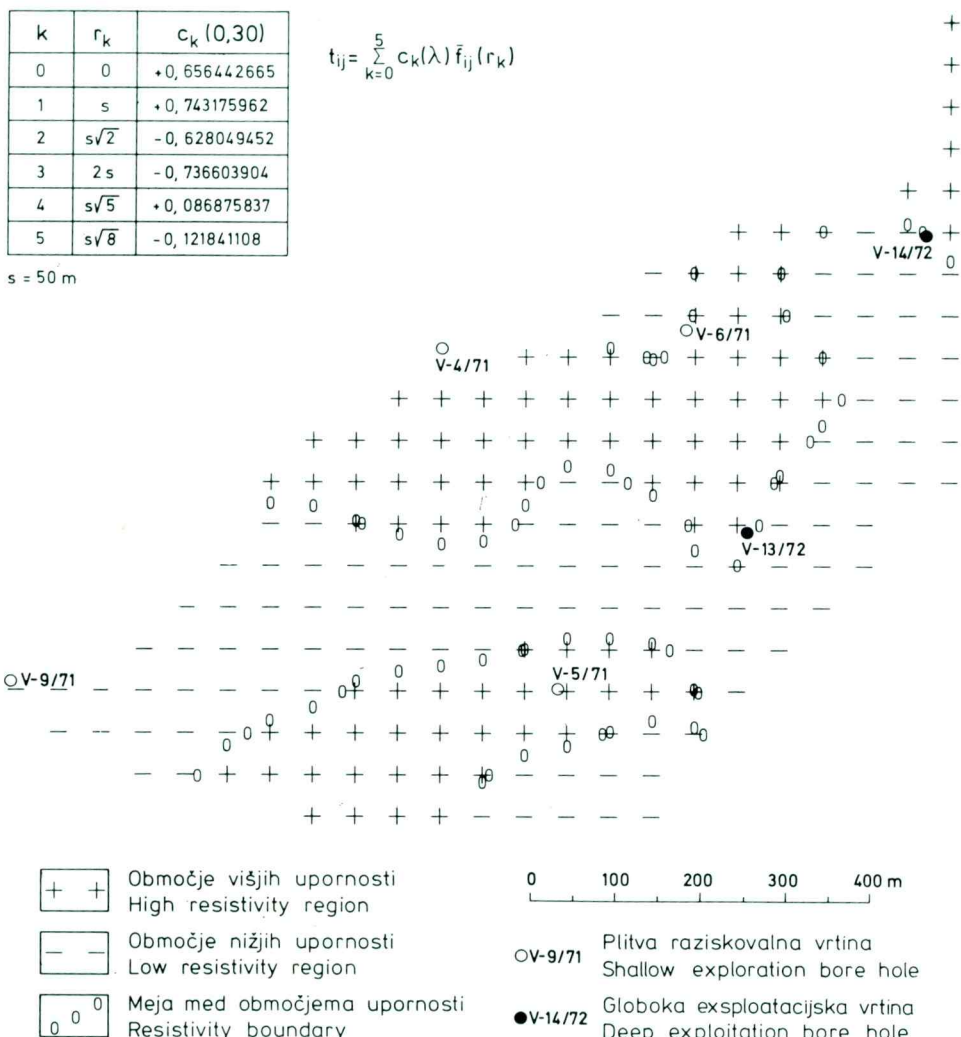
Transformirane karte, dobljene po različnih metodah (sl. 2 do 5), so skoraj identične, čeprav se nizi koeficientov močno razlikujejo. To govori v prid uporabi enostavnnejših filtrov.

Geološka slika nižjeupornostnih in višjeupornostnih območij je po podatkih plitvih raziskovalnih vrtin naslednja: Nižjeupornostna območja ustrezano laporju, glinastemu laporju in glini, višjeuporna pa peščenjaku, peščenemu laporju in litotamnijskemu apnencu. Podoba je, da »ničelne črte« dokaj dobro odražajo litološke meje in prelomne cone, saj sta obe globoki vrtini V-13/72 in V-14/72, katerih položaj je na tej črti, zadeli v prelomno cono.



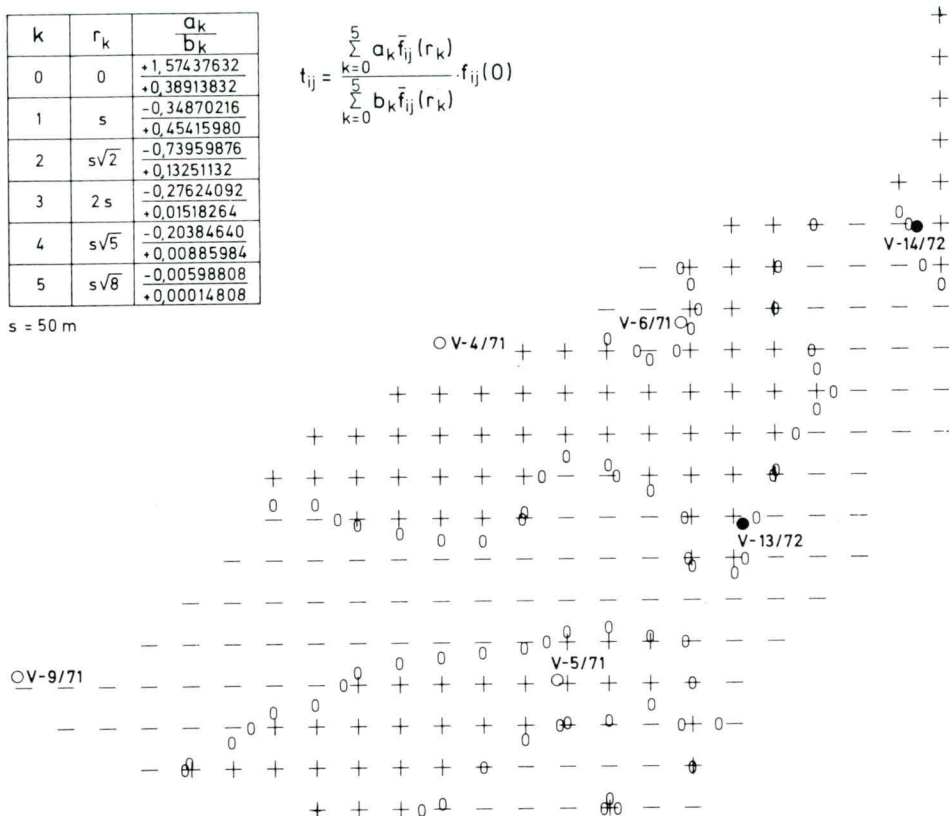
Sl. 1. Karta navidezne specifične električne upornosti za tokovni dipol  $AB/2 = 60$  m

Fig. 1. Resistivity map for  $AB/2 = 60$  m



Sl. 2. Transformirana karta navidezne specifične električne upornosti  
Filter: B. N. P. AGARWAL in T. LAL (1972),  $\lambda = 0.30$

Fig. 2. Second derivative resistivity map  
Filter: B. N. P. AGARWAL and T. LAL (1972),  $\lambda = 0.30$



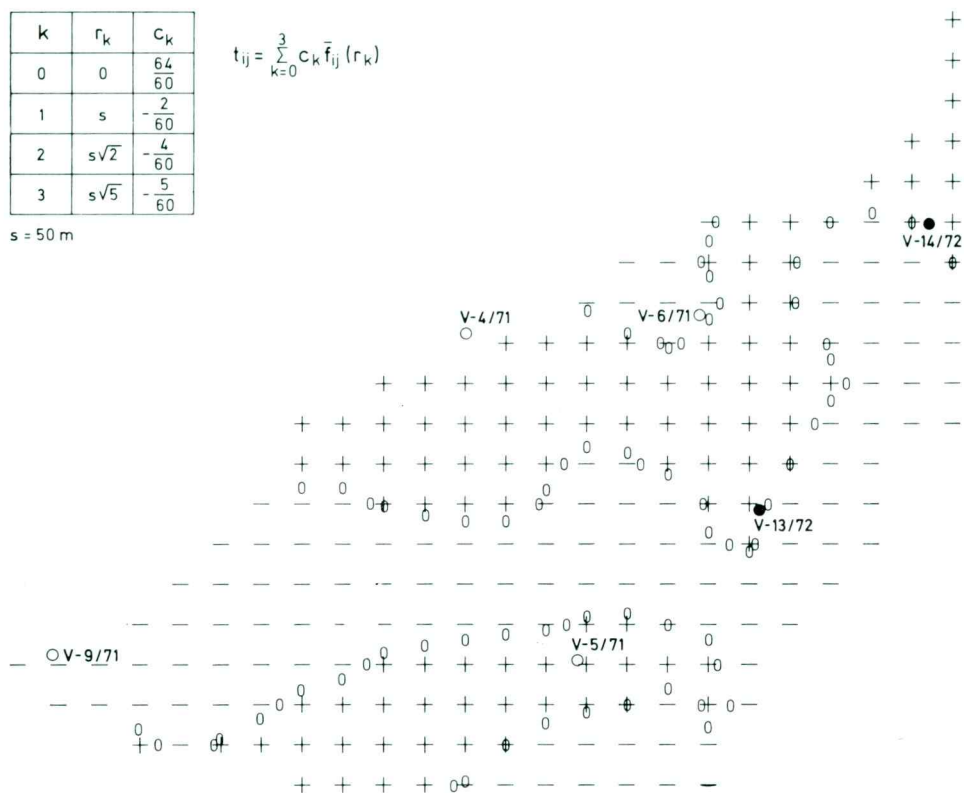
Sl. 3. Transformirana karta navidezne specifične električne upornosti  
Filter: B. N. P. AGARWAL in T. LAL (1971), enačba (10)

Fig. 3. Second derivative resistivity map  
Filter: B. N. P. AGARWAL and T. LAL (1971), equation (10)

### Povzetek

Primer transformacije karte navidezne specifične električne upornosti z dvo-dimenzionalnimi filteri kot približki drugega odvoda je dal zelo uporabne praktične rezultate, čeprav postopek v strogem smislu ni korenken, ker karta navidezne specifične električne upornosti ni slika potencialnega polja. Pokazalo se je tudi, da so primernejši filtri, ki dajejo enostavnejšo, oziroma manj razgibano sliko, torej filtri, ki so bolj oddaljeni od pravega drugega odvoda.

Transformirane geoelektrične karte se dobro ujemajo z geološko sliko. Območja višjih in nižjih upornosti sovpadajo z ustrezнимi litološkimi enotami, »ničelne črte« pa z litološkimi mejami in prelomnimi conami. Obe vrtini, locirani na podlagi geofizikalnih raziskav — predvsem po karti navidezne specifične električne upornosti — sta v prelomni coni, ki jo odkriva »ničelna črta«, in dajeta večje količine termalne vode.



Sl. 4. Transformirana karta navidezne specifične električne upornosti  
Filter: T. A. ELKINS (1951), enačba (13)

Fig. 4. Second derivative resistivity map  
Filter: T. A. ELKINS (1951), equation (13)

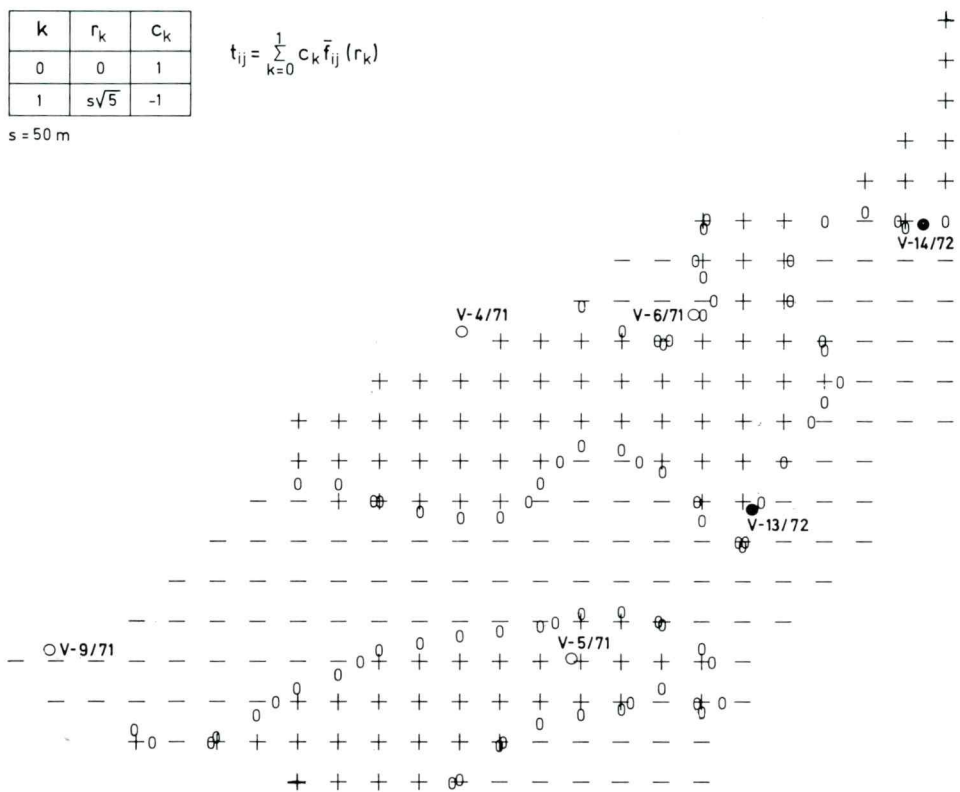
#### L i t e r a t u r a — R e f e r e n c e s

- Agarwal, B. N. P., Lal, T. 1972, A generalized method of computing second derivation of gravity field. *Geophys. Prosp.* 20, 385—394.
- Agarwal, B. N. P., Lal, T. 1971, Application of rational approximation in calculation of the second derivative of the gravity field. *Geophysics* 36, 571—581.
- Elkins, T. A. 1951, The second derivative method of gravity interpretation. *Geophysics* 16, 29—50.
- Griffin, W. R. 1949, Residual gravity in theory and practice. *Geophysics* 14, 39—56.
- Henderson, R. G., Zietz, I. 1949, The computation of second vertical derivatives of geomagnetic fields. *Geophysics* 14, 508—516.
- Lapajne, J. 1975, Geofizikalne raziskave na območju Čateških Toplic (Geophysical Exploration of the Čatež Thermal Springs Area). *Geologija* 18, 315—324, Ljubljana.
- Rosenbach, O. 1953, A contribution of the second derivative from gravity data. *Geophysics* 18, 894—912.

| k | r <sub>k</sub> | c <sub>k</sub> |
|---|----------------|----------------|
| 0 | 0              | 1              |
| 1 | s $\sqrt{5}$   | -1             |

s = 50 m

$$t_{ij} = \sum_{k=0}^1 c_k \bar{f}_{ij}(r_k)$$



Sl. 5. Transformirana karta navidezne specifične električne upornosti  
Filter: W. R. GRIFFIN (1949)

Fig. 5. Second derivative resistivity map  
Filter: W. R. GRIFFIN (1949)